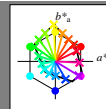


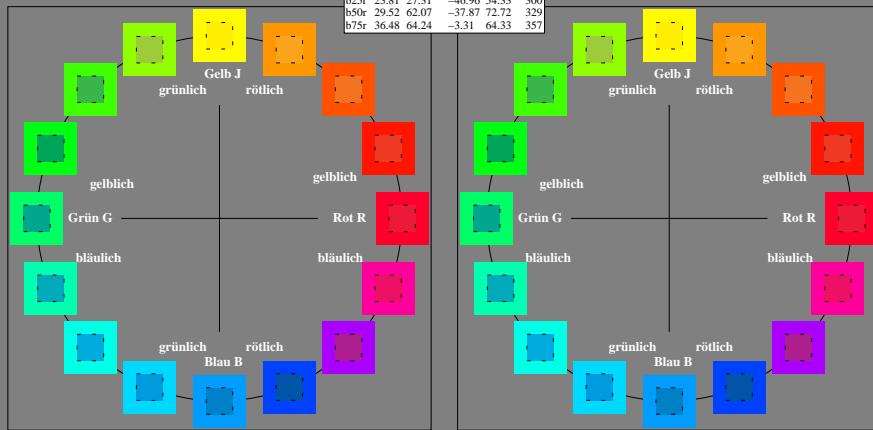
Ein und Ausgabe:
Farbmetrisches Drucker-Reflektiv-System FRS15_90aM
Daten für jede Farbe:
 lab^*ich^* und lab^*icu^*
Elementar-Bunttonext:
 $u^* = 16$ Bunttöne $r00j$, $r25j$, ..., $b75r$
Kontrastreduzierungsfaktor:
 $c_R = 0.9$

FRS15_90aM; adaptierte CIELAB-Daten					
	$L^*-L^*_a$	a^*_a	b^*_a	$C^*_{ab,a}$	$h^*_{ab,a}$
r00j	35.47	56.92	27.12	63.05	25
r25j	39.12	49.04	44.45	66.19	42
r50j	50.64	35.19	58.33	68.13	59
r75j	64.01	19.11	74.45	76.87	76
j00g	83.18	-3.93	97.56	97.64	92
j25g	66.73	-26.86	74.66	79.35	110
j50g	54.03	-43.42	57.07	71.71	127
j75g	44.73	-54.21	38.33	66.4	145
g00b	47.59	-44.11	14.14	46.33	162
g25b	49.97	-35.68	-6.03	36.19	190
g50b	51.85	-29.05	-21.88	36.38	217
g75b	46.92	-15.53	-32.37	35.92	244
b00r	37.91	1.15	-38.05	38.08	272
b25r	23.81	27.31	-46.96	54.33	300
b50r	29.52	62.07	-37.87	72.72	329
b75r	36.48	64.24	-3.31	64.33	357



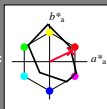
%Umfang
 $u^*_{rel} = 88$
%Regularität
 $g^*_{H,rel} = 31$
 $g^*_{C,rel} = 40$

FRS15_90aM; adaptierte CIELAB-Daten					
	$L^*-L^*_a$	a^*_a	b^*_a	$C^*_{ab,a}$	$h^*_{ab,a}$
O _{Ma}	35.06	53.93	39.55	66.88	36
Y _{Ma}	83.77	-4.63	98.26	98.37	93
L _{Ma}	44.13	-56.32	43.36	71.09	142
C _{Ma}	52.66	-26.18	-28.74	38.89	228
V _{Ma}	14.15	45.22	-53.06	69.72	310
M _{Ma}	37.37	70.69	-30.1	76.83	337
N _{Ma}	15.0	0.0	0.0	0.0	0
W _{Ma}	90.0	0.0	0.0	0.0	0
R _{ClE}	39.92	58.74	27.99	65.07	25
J _{ClE}	81.26	-2.88	71.56	71.62	92
G _{ClE}	52.23	-42.41	13.6	44.55	162
B _{ClE}	30.57	1.41	-46.46	46.49	272



Siehe ähnliche Dateien: <http://www.ps.bam.de/Dg93/>; [www.ps.bam.de/Dg93/Version 2.1,10-1.1, ColSp-0](http://www.ps.bam.de/Dg93/Version%202.1,10-1.1,ColSp-0)

Ein und Ausgabe: Farbmetrisches Drucker-Reflexiv-System FRS15_90aM für relativen CIELAB-Buntton $h^* = lab^*h^* = h_{ab}/360 = 25/360 = 0.071$ $u^* = r00j$
Daten für jede Farbe:
 lab^*ich^* und lab^*icu^*
Elementar-Bunttontext:
 $u^* = r00j$
Kontrastreduzierungsfaktor:
 $c_R = 0.9$
Dreiecks-Helligkeit t^*



FRS15_90aM; adaptierte CIELAB-Daten					
$L^*=L^*_a$	a^*_a	b^*_a	C^*_{aba}	h^*_{aba}	
O _{Ma}	35.06	53.93	39.55	66.88	36
Y _{Ma}	83.77	-4.63	98.26	98.37	93
L _{Ma}	44.13	-56.32	43.36	71.09	142
C _{Ma}	52.66	-26.18	-28.74	38.89	228
V _{Ma}	14.15	45.22	-53.06	69.72	310
M _{Ma}	37.37	70.69	-30.1	76.83	337
W _{Ma}	15.0	0.0	0.0	0.0	0
N _{Ma}	90.0	0.0	0.0	0.0	0
R _{CIE}	39.92	58.74	27.99	65.07	25
J _{CIE}	81.26	-2.88	71.56	71.62	92
G _{CIE}	52.23	-42.41	13.6	44.55	162
B _{CIE}	30.57	1.41	-46.46	46.49	272

Daten für Maximalfarbe (Ma):

LAB^*LAB^*Ma : 35 57 27

LAB^*LCH^*Ma : 35 63 25

lab^*rgb^*Ma : 1.0 0.0 0.0

lab^*olv^*Ma : 1.0 0.0 0.18

Dreiecks-Helligkeit t^*

%Umfang

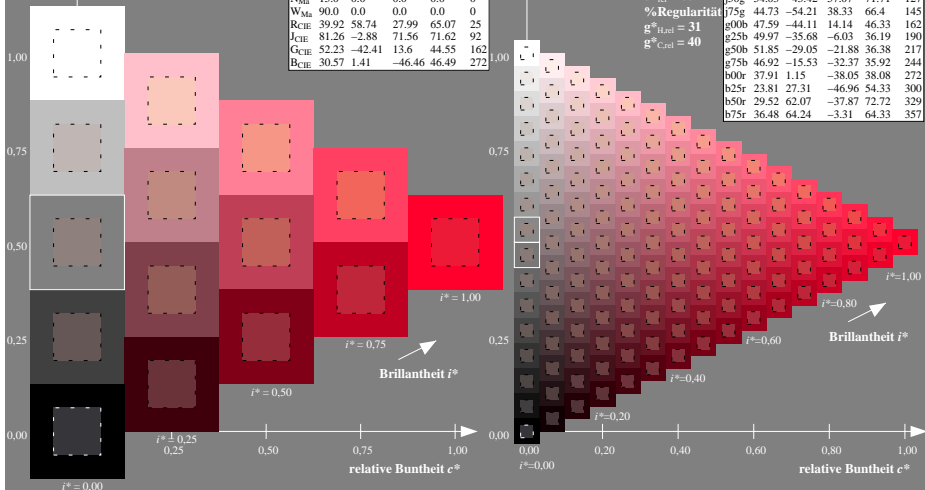
$u^*_{rel} = 88$

%Regularität

$g^*_{H,rel} = 31$

$g^*_{C,rel} = 40$

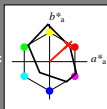
FRS15_90aM; adaptierte CIELAB-Daten					
$L^*=L^*_a$	a^*_a	b^*_a	C^*_{aba}	h^*_{aba}	
r00j	35.47	56.92	27.12	63.05	25
r25j	39.12	49.04	44.45	66.19	42
r50j	50.64	35.19	58.33	68.13	59
r75j	64.01	19.11	74.45	76.87	76
j00g	83.18	-3.93	97.56	97.64	92
j25g	66.73	-26.86	74.66	79.35	110
j50g	54.03	-43.42	57.07	71.71	127
j75g	44.73	-54.21	38.33	66.4	145
g00b	47.59	-44.11	14.14	46.33	162
g25b	49.97	-35.68	-6.03	36.19	190
g50b	51.85	-29.05	-21.88	36.38	217
g75b	46.92	-15.53	-32.37	35.92	244
b00r	37.91	1.15	-38.05	38.08	272
b25r	23.81	27.31	-46.96	54.33	300
b50r	29.52	62.07	-37.87	72.72	329
b75r	36.48	64.24	-3.31	64.33	357



BAM-Registrierung: 2008/701-Dg93/L93G00N1.PS/.TXT
Anwendung für Beurteilung und Messung von Drucker- oder Monitorsystemen

BAM-Material-Code=na14a

Ein und Ausgabe: Farbmetrisches Drucker-Reflektiv-System FRS15_90aM für relativen CIELAB-Buntton $h^* = lab^*h^* = h_{ab}/360 = 42/360 = 0.117$ $u^* = r25j$
Daten für jede Farbe:
 lab^*ich^* und lab^*icu^*
Elementar-Bunttontext:
 $u^* = r25j$
Kontrastreduzierungsfaktor:
 $c_R = 0.9$
Dreiecks-Helligkeit t^*



FRS15_90aM; adaptierte CIELAB-Daten					
$L^*=L^*_a$	a^*_a	b^*_a	C^*_{aba}	h^*_{aba}	
O _{Ma}	35.06	53.93	39.55	66.88	36
Y _{Ma}	83.77	-4.63	98.26	98.37	93
L _{Ma}	44.13	-56.32	43.36	71.09	142
C _{Ma}	52.66	-26.18	-28.74	38.89	228
V _{Ma}	14.15	45.22	-53.06	69.72	310
M _{Ma}	37.37	70.69	-30.1	76.83	337
W _{Ma}	15.0	0.0	0.0	0.0	0
N _{Ma}	90.0	0.0	0.0	0.0	0
R _{CIE}	39.92	58.74	27.99	65.07	25
J _{CIE}	81.26	-2.88	71.56	71.62	92
G _{CIE}	52.23	-42.41	13.6	44.55	162
B _{CIE}	30.57	1.41	-46.46	46.49	272

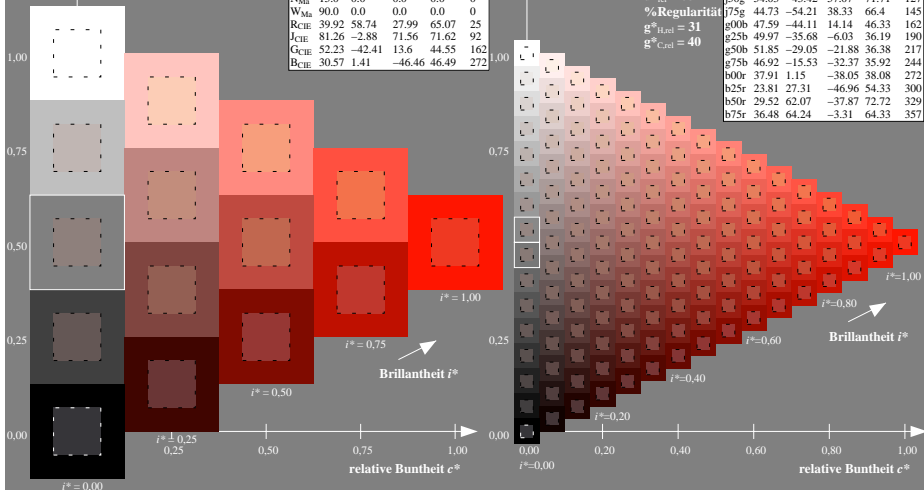
Daten für Maximalfarbe (Ma):

LAB^*LAB^*Ma : 39 49 44
 LAB^*LCH^*Ma : 39 66 42
 lab^*rgb^*Ma : 1.0 0.25 0.0
 lab^*olv^*Ma : 1.0 0.08 0.0

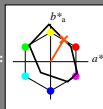
FRS15_90aM; adaptierte CIELAB-Daten					
$L^*=L^*_a$	a^*_a	b^*_a	C^*_{aba}	h^*_{aba}	
r00j	35.47	56.92	27.12	63.05	25
r25j	39.12	49.04	44.45	66.19	42
r50j	50.64	35.19	58.33	68.13	59
r75j	64.01	19.11	74.45	76.87	76
j00g	83.18	-3.93	97.56	97.64	92
j25g	66.73	-26.86	74.66	79.35	110
j50g	54.03	-43.42	57.07	71.71	127
j75g	44.73	-54.21	38.33	66.4	145
g00b	47.59	-44.11	14.14	46.33	162
g25b	49.97	-35.68	-6.03	36.19	190
g50b	51.85	-29.05	-21.88	36.38	217
g75b	46.92	-15.53	-32.37	35.92	244
b00r	37.91	1.15	-38.05	38.08	272
b25r	23.81	27.31	-46.96	54.33	300
b50r	29.52	62.07	-37.87	72.72	329
b75r	36.48	64.24	-3.31	64.33	357

Dreiecks-Helligkeit t^*

%Umfang
 $u^*_{rel} = 88$
%Regularität
 $g^*_{H,rel} = 31$
 $g^*_{C,rel} = 40$



Ein und Ausgabe: Farbmetrisches Drucker-Reflektiv-System FRS15_90aM für relativen CIELAB-Buntton $h^* = lab^*h^* = h_{ab}/360 = 59/360 = 0.164$ $u^* = r50j$
Daten für jede Farbe:
 lab^*ich^* und lab^*icu^*
Elementar-Bunttontext:
 $u^* = r50j$
Kontrastreduzierungsfaktor:
 $c_R = 0.9$
Dreiecks-Helligkeit t^*



FRS15_90aM; adaptierte CIELAB-Daten					
$L^*=L^*_a$	a^*_a	b^*_a	C^*_{aba}	h^*_{aba}	
O _{Ma}	35.06	53.93	39.55	66.88	36
Y _{Ma}	83.77	-4.63	98.26	98.37	93
L _{Ma}	44.13	-56.32	43.36	71.09	142
C _{Ma}	52.66	-26.18	-28.74	38.89	228
V _{Ma}	14.15	45.22	-53.06	69.72	310
M _{Ma}	37.37	70.69	-30.1	76.83	337
W _{Ma}	15.0	0.0	0.0	0.0	0
N _{Ma}	90.0	0.0	0.0	0.0	0
R _{CIE}	39.92	58.74	27.99	65.07	25
J _{CIE}	81.26	-2.88	71.56	71.62	92
G _{CIE}	52.23	-42.41	13.6	44.55	162
B _{CIE}	30.57	1.41	-46.46	46.49	272

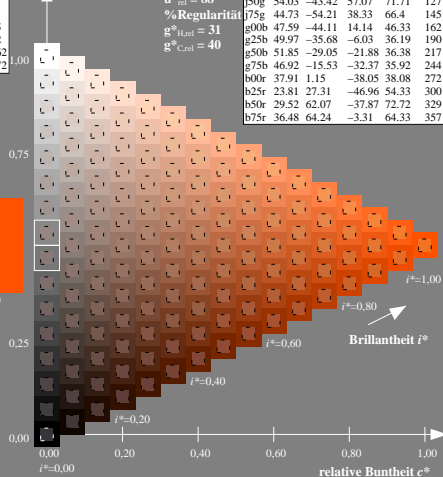
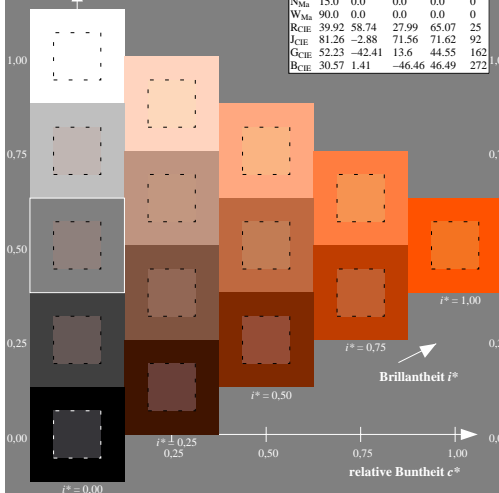
Daten für Maximalfarbe (Ma):

LAB^*LAB^*Ma : 51 35 58
 LAB^*LCH^*Ma : 51 68 59
 lab^*rgb^*Ma : 1.0 0.5 0.0
 lab^*olv^*Ma : 1.0 0.32 0.0

FRS15_90aM; adaptierte CIELAB-Daten					
$L^*=L^*_a$	a^*_a	b^*_a	C^*_{aba}	h^*_{aba}	
r00j	35.47	56.92	27.12	63.05	25
r25j	39.12	49.04	44.45	66.19	42
r50j	50.64	35.19	58.33	68.13	59
r75j	64.01	19.11	74.45	76.87	76
j00g	83.18	-3.93	97.56	97.64	92
j25g	66.73	-26.86	74.66	79.35	110
j50g	54.03	-43.42	57.07	71.71	127
j75g	44.73	-54.21	38.33	66.4	145
g00b	47.59	-44.11	14.14	46.33	162
g25b	49.97	-35.68	-6.03	36.19	190
g50b	51.85	-29.05	-21.88	36.38	217
g75b	46.92	-15.53	-32.37	35.92	244
b00r	37.91	1.15	-38.05	38.08	272
b25r	23.81	27.31	-46.96	54.33	300
b50r	29.52	62.07	-37.87	72.72	329
b75r	36.48	64.24	-3.31	64.33	357

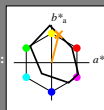
Dreiecks-Helligkeit t^*

%Umfang
 $u^*_{rel} = 88$
%Regularität
 $g^*_{H,rel} = 31$
 $g^*_{C,rel} = 40$



Ein und Ausgabe: Farbmetrisches Drucker-Reflexiv-System FRS15_90aM für relativen CIELAB-Buntton $h^* = lab^*h^* = h_{ab}/360 = 76/360 = 0.21$ $u^* = r75j$
Daten für jede Farbe:
 lab^*ich^* und lab^*icu^*
Elementar-Bunttontext:

$u^* = r75j$
Kontrastreduzierungsfaktor:
 $c_R = 0.9$
Dreiecks-Helligkeit t^*



FRS15_90aM; adaptierte CIELAB-Daten					
$L^* = L^*_a$	a^*_a	b^*_a	C^*_{aba}	h^*_{aba}	
O _{Ma}	35.06	53.93	39.55	66.88	36
Y _{Ma}	83.77	-4.63	98.26	98.37	93
L _{Ma}	44.13	-56.32	43.36	71.09	142
C _{Ma}	52.66	-26.18	-28.74	38.89	228
V _{Ma}	14.15	45.22	-53.06	69.72	310
M _{Ma}	37.37	70.69	-30.1	76.83	337
W _{Ma}	15.0	0.0	0.0	0.0	0
N _{Ma}	90.0	0.0	0.0	0.0	0
R _{CIE}	39.92	58.74	27.99	65.07	25
J _{CIE}	81.26	-2.88	71.56	71.62	92
G _{CIE}	52.23	-42.41	13.6	44.55	162
B _{CIE}	30.57	1.41	-46.46	46.49	272

Daten für Maximalfarbe (Ma):

LAB^*LAB^*Ma : 64 19 74

LAB^*LCH^*Ma : 64 77 76

lab^*rgb^*Ma : 1.0 0.75 0.0

lab^*olv^*Ma : 1.0 0.59 0.0

Dreiecks-Helligkeit t^*

%Umfang

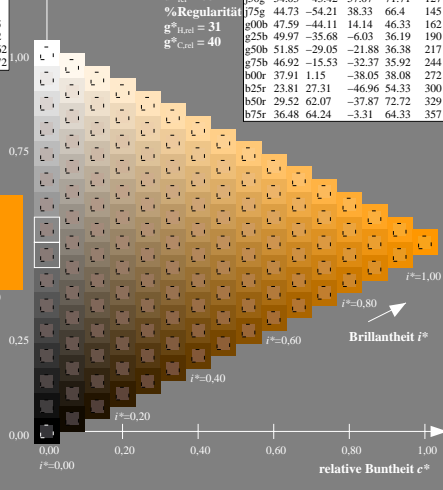
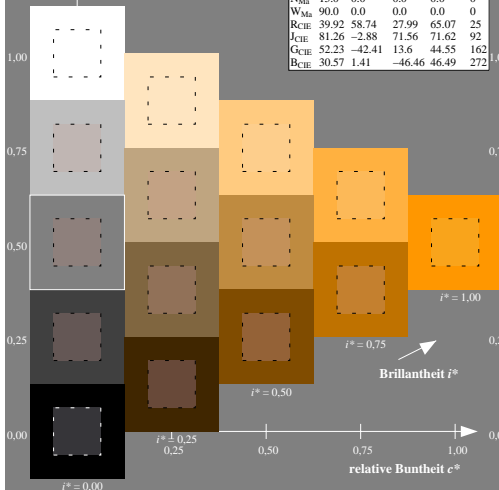
$u^*_{rel} = 88$

%Regularität

$g^*_{H,rel} = 31$

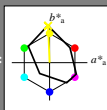
$g^*_{C,rel} = 40$

FRS15_90aM; adaptierte CIELAB-Daten					
$L^* = L^*_a$	a^*_a	b^*_a	C^*_{aba}	h^*_{aba}	
r00j	35.47	56.92	27.12	63.05	25
r25j	39.12	49.04	44.45	66.19	42
r50j	50.64	35.19	58.33	68.13	59
r75j	64.01	19.11	74.45	76.87	76
j00g	83.18	-3.93	97.56	97.64	92
j25g	66.73	-26.86	74.66	79.35	110
j50g	54.03	-43.42	57.07	71.71	127
j75g	44.73	-54.21	38.33	66.4	145
g00b	47.59	-44.11	14.14	46.33	162
g25b	49.97	-35.68	-6.03	36.19	190
g50b	51.85	-29.05	-21.88	36.38	217
g75b	46.92	-15.53	-32.37	35.92	244
b00r	37.91	1.15	-38.05	38.08	272
b25r	23.81	27.31	-46.96	54.33	300
b50r	29.52	62.07	-37.87	72.72	329
b75r	36.48	64.24	-3.31	64.33	357



Ein und Ausgabe: Farbmetrisches Drucker-Reflektiv-System FRS15_90aM für relativen CIELAB-Buntton $h^* = \text{lab}^*h^* = h_{ab}/360 = 92/360 = 0.256$ $u^* = j00g$
Daten für jede Farbe:
 lab^*ich^* und lab^*icu^*
Elementar-Bunttontext:

$u^* = j00g$
Kontrastreduzierungsfaktor:
 $c_R = 0.9$
Dreiecks-Helligkeit t^*



FRS15_90aM; adaptierte CIELAB-Daten					
$L^* = L^*_a$	a^*_a	b^*_a	C^*_{aba}	h^*_{aba}	
O _{Ma}	35.06	53.93	39.55	66.88	36
Y _{Ma}	83.77	-4.63	98.26	98.37	93
L _{Ma}	44.13	-56.32	43.36	71.09	142
C _{Ma}	52.66	-26.18	-28.74	38.89	228
V _{Ma}	14.15	45.22	-53.06	69.72	310
M _{Ma}	37.37	70.69	-30.1	76.83	337
W _{Ma}	15.0	0.0	0.0	0.0	0
N _{Ma}	90.0	0.0	0.0	0.0	0
R _{CIE}	39.92	58.74	27.99	65.07	25
J _{CIE}	81.26	-2.88	71.56	71.62	92
G _{CIE}	52.23	-42.41	13.6	44.55	162
B _{CIE}	30.57	1.41	-46.46	46.49	272

Daten für Maximalfarbe (Ma):

$\text{LAB}^*\text{LAB}^*\text{Ma}$: 83 -3 98

$\text{LAB}^*\text{LCH}^*\text{Ma}$: 83 98 92

$\text{lab}^*\text{rgb}^*\text{Ma}$: 1.0 1.0 0.0

$\text{lab}^*\text{olv}^*\text{Ma}$: 1.0 0.99 0.0

Dreiecks-Helligkeit t^*

%Umfang

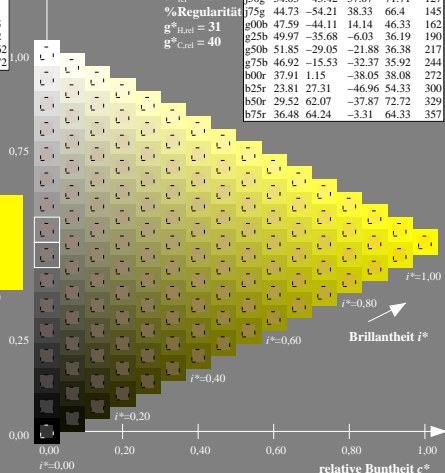
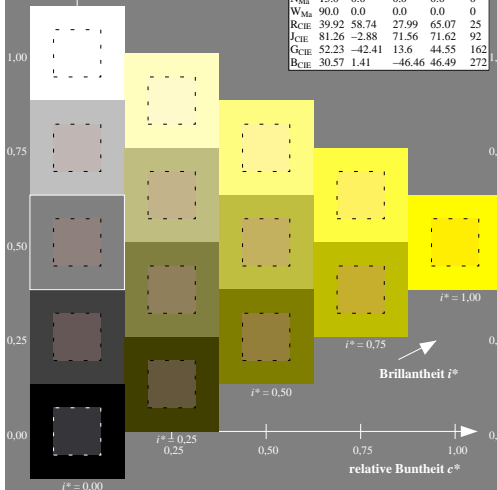
$u^*_{\text{rel}} = 88$

%Regularität

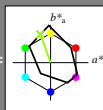
$g^*_{\text{H,rel}} = 31$

$g^*_{\text{C,rel}} = 40$

FRS15_90aM; adaptierte CIELAB-Daten					
$L^* = L^*_a$	a^*_a	b^*_a	C^*_{aba}	h^*_{aba}	
r00j	35.47	56.92	27.12	63.05	25
r25j	39.12	49.04	44.45	66.19	42
r50j	50.64	35.19	58.33	68.13	59
r75j	64.01	19.11	74.45	76.87	76
j00g	83.18	-3.93	97.56	97.64	92
j25g	66.73	-26.86	74.66	79.35	110
j50g	54.03	-43.42	57.07	71.71	127
j75g	44.73	-54.21	38.33	66.4	145
g00b	47.59	-44.11	14.14	46.33	162
g25b	49.97	-35.68	-6.03	36.19	190
g50b	51.85	-29.05	-21.88	36.38	217
g75b	46.92	-15.53	-32.37	35.92	244
b00r	37.91	1.15	-38.05	38.08	272
b25r	23.81	27.31	-46.96	54.33	300
b50r	29.52	62.07	-37.87	72.72	329
b75r	36.48	64.24	-3.31	64.33	357



Ein und Ausgabe: Farbmetrisches Drucker-Reflexiv-System FRS15_90aM für relativen CIELAB-Buntton $h^* = lab^*h^* = h_{ab}/360 = 110/360 = 0.305$ $u^* = j25g$
Daten für jede Farbe:
 lab^*ich^* und lab^*icu^*
Elementar-Bunttontext:
 $u^* = j25g$
Kontrastreduzierungsfaktor:
 $c_R = 0.9$
Dreiecks-Helligkeit i^*



FRS15_90aM; adaptierte CIELAB-Daten					
$L^* = L^*_a$	a^*_a	b^*_a	C^*_{aba}	h^*_{aba}	
O _{Ma}	35.06	53.93	39.55	66.88	36
Y _{Ma}	83.77	-4.63	98.26	98.37	93
L _{Ma}	44.13	-56.32	43.36	71.09	142
C _{Ma}	52.66	-26.18	-28.74	38.89	228
V _{Ma}	14.15	45.22	-53.06	69.72	310
M _{Ma}	37.37	70.69	-30.1	76.83	337
N _{Ma}	15.0	0.0	0.0	0.0	0
W _{Ma}	90.0	0.0	0.0	0.0	0
R _{CIE}	39.92	58.74	27.99	65.07	25
J _{CIE}	81.26	-2.88	71.56	71.62	92
G _{CIE}	52.23	-42.41	13.6	44.55	162
B _{CIE}	30.57	1.41	-46.46	46.49	272

Daten für Maximalfarbe (Ma):

LAB^*LAB^*Ma : 67 -26 75

LAB^*LCH^*Ma : 67 79 110

lab^*rgb^*Ma : 0.75 1.0 0.0

lab^*olv^*Ma : 0.57 1.0 0.0

Dreiecks-Helligkeit i^*

%Umfang

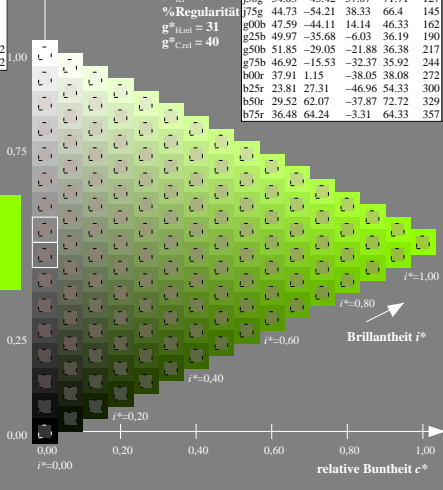
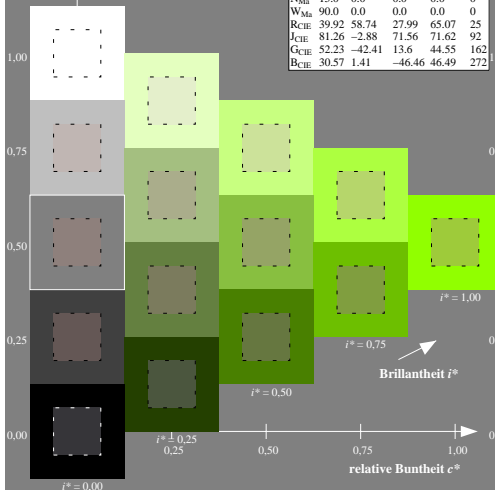
$u^*_{rel} = 88$

%Regularität

$g^*_{H,rel} = 31$

$g^*_{C,rel} = 40$

FRS15_90aM; adaptierte CIELAB-Daten					
$L^* = L^*_a$	a^*_a	b^*_a	C^*_{aba}	h^*_{aba}	
r00j	35.47	56.92	27.12	63.05	25
r25j	39.12	49.04	44.45	66.19	42
r50j	50.64	35.19	58.33	68.13	59
r75j	64.01	19.11	74.45	76.87	76
j00g	83.18	-3.93	97.56	97.64	92
j25g	66.73	-26.86	74.66	79.35	110
j50g	54.03	-43.42	57.07	71.71	127
j75g	44.73	-54.21	38.33	66.4	145
g00b	47.59	-44.11	14.14	46.33	162
g25b	49.97	-35.68	-6.03	36.19	190
g50b	51.85	-29.05	-21.88	36.38	217
g75b	46.92	-15.53	-32.37	35.92	244
b00r	37.91	1.15	-38.05	38.08	272
b25r	23.81	27.31	-46.96	54.33	300
b50r	29.52	62.07	-37.87	72.72	329
b75r	36.48	64.24	-3.31	64.33	357

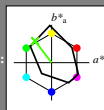


Siehe ähnliche Dateien: <http://www.ps.bam.de/Dg93/>; [www.ps.bam.de/Version 2.1, to=1.1, ColSpX=0](http://www.ps.bam.de/Dg93/Version%202.1%20to%201.1%20ColSpX-0)

BAM-Registrierung: 2008/701-Dg93/L93G00N1.PS/.TXT
Anwendung für Beurteilung und Messung von Drucker- oder Monitorsystemen

BAM-Material-Code=na14a

Ein und Ausgabe: Farbmetrisches Drucker-Reflexiv-System FRS15_90aM für relativen CIELAB-Buntton $h^* = lab^*h^* = h_{ab}/360 = 127/360 = 0.354$ $u^* = j50g$
Daten für jede Farbe:
 lab^*ich^* und lab^*icu^*
Elementar-Bunttontext:
 $u^* = j50g$
Kontrastreduzierungsfaktor:
 $c_R = 0.9$
Dreiecks-Helligkeit i^*



FRS15_90aM; adaptierte CIELAB-Daten					
$L^*=L^*_a$	a^*_a	b^*_a	C^*_{ab}	h^*_{ab}	
O _{Ma}	35.06	53.93	39.55	66.88	36
Y _{Ma}	83.77	-4.63	98.26	98.37	93
L _{Ma}	43.13	-56.32	43.36	71.09	142
C _{Ma}	52.66	-26.18	-28.74	38.89	228
V _{Ma}	14.15	45.22	-53.06	69.72	310
M _{Ma}	37.37	70.69	-30.1	76.83	337
N _{Ma}	15.0	0.0	0.0	0.0	0
W _{Ma}	90.0	0.0	0.0	0.0	0
R _{CIE}	39.92	58.74	27.99	65.07	25
J _{CIE}	81.26	-2.88	71.56	71.62	92
G _{CIE}	52.23	-42.41	13.6	44.55	162
B _{CIE}	30.57	1.41	-46.46	46.49	272

Daten für Maximalfarbe (Ma):

LAB^*LAB^*Ma : 54 -42 57
 LAB^*LCH^*Ma : 54 72 127
 lab^*rgb^*Ma : 0.5 1.0 0.0
 lab^*olv^*Ma : 0.25 1.0 0.0

FRS15_90aM; adaptierte CIELAB-Daten					
$L^*=L^*_a$	a^*_a	b^*_a	C^*_{ab}	h^*_{ab}	
r00j	35.47	56.92	27.12	63.05	25
r25j	39.12	49.04	44.45	66.19	42
r50j	50.64	35.19	58.33	68.13	59
r75j	64.01	19.11	74.45	76.87	76
j00g	83.18	-3.93	97.56	97.64	92
j25g	66.73	-26.86	74.66	79.35	110
j50g	54.03	-43.42	57.07	71.71	127
j75g	44.73	-54.21	38.33	66.4	145
g00b	47.59	-44.11	14.14	46.33	162
g25b	49.97	-35.68	-6.03	36.19	190
g50b	51.85	-29.05	-21.88	36.38	217
g75b	46.92	-15.53	-32.37	35.92	244
b00r	37.91	1.15	-38.05	38.08	272
b25r	23.81	27.31	-46.96	54.33	300
b50r	29.52	62.07	-37.87	72.72	329
b75r	36.48	64.24	-3.31	64.33	357

Dreiecks-Helligkeit i^*

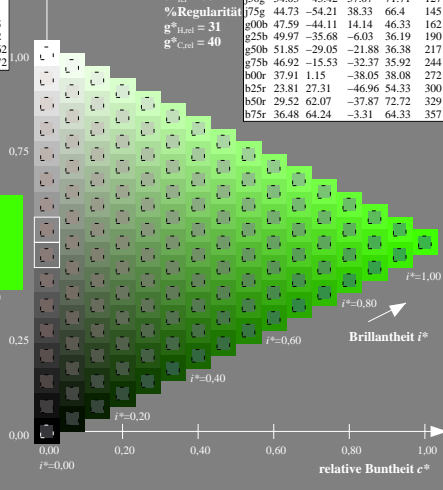
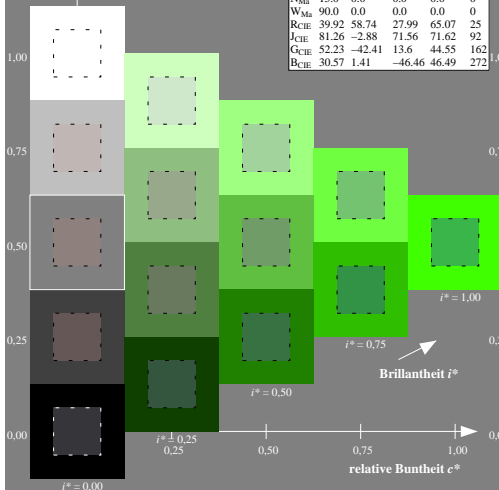
%Umfang

$u^*_{rel} = 88$

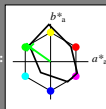
%Regularität

$g^*_{H,rel} = 31$

$g^*_{C,rel} = 40$



Ein und Ausgabe: Farbmetrisches Drucker-Reflexiv-System FRS15_90aM für relativen CIELAB-Buntton $h^* = lab^*h^* = h_{ab}/360 = 145/360 = 0.402$ $u^* = j75g$
Daten für jede Farbe:
 lab^*ich^* und lab^*icu^*
Elementar-Bunttontext:
 $u^* = j75g$
Kontrastreduzierungsfaktor:
 $c_R = 0.9$
Dreiecks-Helligkeit i^*



FRS15_90aM; adaptierte CIELAB-Daten					
$L^*=L^*_a$	a^*_a	b^*_a	C^*_{aba}	h^*_{aba}	
O _{Ma}	35.06	53.93	39.55	66.88	36
Y _{Ma}	83.77	-4.63	98.26	98.37	93
L _{Ma}	44.13	-56.32	43.36	71.09	142
C _{Ma}	52.66	-26.18	-28.74	38.89	228
V _{Ma}	14.15	45.22	-53.06	69.72	310
M _{Ma}	37.37	70.69	-30.1	76.83	337
N _{Ma}	15.0	0.0	0.0	0.0	0
W _{Ma}	90.0	0.0	0.0	0.0	0
R _{CIE}	39.92	58.74	27.99	65.07	25
J _{CIE}	81.26	-2.88	71.56	71.62	92
G _{CIE}	52.23	-42.41	13.6	44.55	162
B _{CIE}	30.57	1.41	-46.46	46.49	272

Daten für Maximalfarbe (Ma):

LAB^*LAB^*Ma : 45 -53 38
 LAB^*LCH^*Ma : 45 66 145
 lab^*rgb^*Ma : 0.25 1.0 0.0
 lab^*olv^*Ma : 0.0 1.0 0.07

FRS15_90aM; adaptierte CIELAB-Daten					
$L^*=L^*_a$	a^*_a	b^*_a	C^*_{aba}	h^*_{aba}	
r00j	35.47	56.92	27.12	63.05	25
r25j	39.12	49.04	44.45	66.19	42
r50j	50.64	35.19	58.33	68.13	59
r75j	64.01	19.11	74.45	76.87	76
j00g	83.18	-3.93	97.56	97.64	92
j25g	66.73	-26.86	74.66	79.35	110
j50g	54.03	-43.42	57.07	71.71	127
j75g	44.73	-54.21	38.33	66.4	145
g00b	47.59	-44.11	14.14	46.33	162
g25b	49.97	-35.68	-6.03	36.19	190
g50b	51.85	-29.05	-21.88	36.38	217
g75b	46.92	-15.53	-32.37	35.92	244
b00r	37.91	1.15	-38.05	38.08	272
b25r	23.81	27.31	-46.96	54.33	300
b50r	29.52	62.07	-37.87	72.72	329
b75r	36.48	64.24	-3.31	64.33	357

Dreiecks-Helligkeit i^*

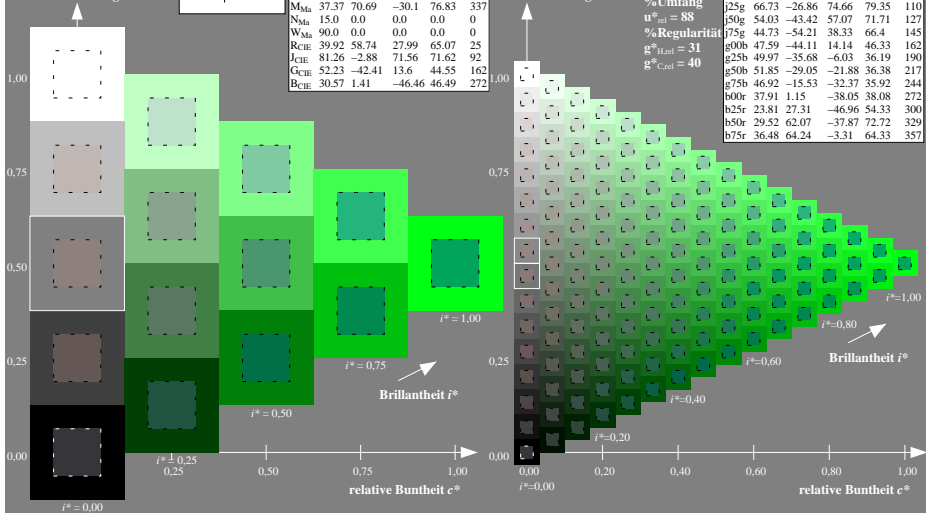
%Umfang

$u^*_{rel} = 88$

%Regularität

$g^*_{H,rel} = 31$

$g^*_{C,rel} = 40$



Ein und Ausgabe: Farbmetrisches Drucker-Reflexiv-System FRS15_90aM für relativen CIELAB-Buntton $h^* = lab^*h^* = h_{ab}/360 = 162/360 = 0.451$ $u^* = g00b$

Daten für jede Farbe:

lab^*ich^* und lab^*icu^*

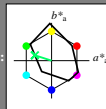
Elementar-Bunttontext:

$u^* = g00b$

Kontrastreduzierungsfaktor:

$c_R = 0.9$

Dreiecks-Helligkeit i^*



FRS15_90aM; adaptierte CIELAB-Daten

	$L^*=L^*_a$	a^*_a	b^*_a	C^*_{aba}	h^*_{aba}
O _{Ma}	35.06	53.93	39.55	66.88	36
Y _{Ma}	83.77	-4.63	98.26	98.37	93
L _{Ma}	44.13	-56.32	43.36	71.09	142
C _{Ma}	52.66	-26.18	-28.74	38.89	228
V _{Ma}	14.15	45.22	-53.06	69.72	310
M _{Ma}	37.37	70.69	-30.1	76.83	337
N _{Ma}	15.0	0.0	0.0	0.0	0
W _{Ma}	90.0	0.0	0.0	0.0	0
R _{CIE}	39.92	58.74	27.99	65.07	25
J _{CIE}	81.26	-2.88	71.56	71.62	92
G _{CIE}	52.23	-42.41	13.6	44.55	162
B _{CIE}	30.57	1.41	-46.46	46.49	272

Daten für Maximalfarbe (Ma):

LAB^*LAB^*Ma : 48 -43 14

LAB^*LCH^*Ma : 48 46 162

lab^*rgb^*Ma : 0.0 1.0 0.0

lab^*olv^*Ma : 0.0 1.0 0.41

Dreiecks-Helligkeit i^*

%Umfang

$u^*_{rel} = 88$

%Regularität

$g^*_{H,rel} = 31$

$g^*_{C,rel} = 40$

FRS15_90aM; adaptierte CIELAB-Daten

	$L^*=L^*_a$	a^*_a	b^*_a	C^*_{aba}	h^*_{aba}
r00j	35.47	56.92	27.12	63.05	25
r25j	39.12	49.04	44.45	66.19	42
r50j	50.64	35.19	58.33	68.13	59
r75j	64.01	19.11	74.45	76.87	76
j00g	83.18	-3.93	97.56	97.64	92
j25g	66.73	-26.86	74.66	79.35	110
j50g	54.03	-43.42	57.07	71.71	127
j75g	44.73	-54.21	38.33	66.4	145
g00b	47.59	-44.11	14.14	46.33	162
g25b	49.97	-35.68	-6.03	36.19	190
g50b	51.85	-29.05	-21.88	36.38	217
g75b	46.92	-15.53	-32.37	35.92	244
b00r	37.91	1.15	-38.05	38.08	272
b25r	23.81	27.31	-46.96	54.33	300
b50r	29.52	62.07	-37.87	72.72	329
b75r	36.48	64.24	-3.31	64.33	357

